

- [5] Петрушкевичюс Р.И., Канапенас Р.-М.В., Рекнис Ю.И. // Тез докл. УП Всес. конф. по нерезонансному взаимодействию оптического излучения с веществом. Л., 1988, с. 345-346.
- [6] Гагарин А.И., Пудков С.Д., Румянцев А.Г., Трубаев В.В. // Тез. докл. УП Всес. конф. по нерезонансному взаимодействию оптического излучения с веществом. Л., 1988, с. 330-331.

Институт физики  
АН Литовской ССР

Поступило в Редакцию  
3 сентября 1988 г.

Письма в ЖТФ, том 15, вып. 4  
05.2

26 февраля 1989 г.

## НОВЫЙ МЕХАНИЗМ ВОЗНИКНОВЕНИЯ АНИЗОТРОПИИ ПОГЛОЩЕНИЯ ГАММА-КВАНТОВ ВЫСОКИХ ЭНЕРГИЙ В КРИСТАЛЛАХ

В.Г. Барышевский, В.В. Тихомиров,  
А.Г. Шехтман

Хорошо известно, что при движении заряженных частиц под малыми углами к кристаллическим осям (плоскостям) их взаимодействие с кристаллом описывается атомным потенциалом, усредненным вдоль осей (плоскостей). В [1] было показано, что взаимодействие  $\gamma$ -квантов с кристаллом в аналогичных условиях описывается диэлектрической проницаемостью также однородной в направлении осей (плоскостей) и периодической в перпендикулярных к ним направлениях. Мнимальная часть этой проницаемости описывает теоретически предсказанный в [2, 3] и обнаруженный экспериментально [4] процесс магнитотормозного образования пар (МОП).

Рассмотрение поглощения  $\gamma$ -квантов в эйкональном приближении показывает, что "выедание" их потока вблизи осей при достаточно малых углах падения  $\theta$  ослабляет дальнейшее поглощение (см. рис. 1). При увеличении  $\theta$   $\gamma$ -кванты перестают существенно поглощаться вблизи одной оси и с ростом толщины кристалла в поле оси будут попадать новые  $\gamma$ -кванты, существенно замедляя спадание скорости МОП. Поэтому в кристалле толщины  $l \geq l_n$  естественно ожидать ориентационной зависимости вероятности МОП с характерным углом  $\theta_{char} = 2 \rho_n / l_n$ , где  $\rho_n$  - характерный радиус области интенсивного МОП вблизи оси,  $l_n$  - характерная длина поглощения  $\gamma$ -квантов в этой области. Напомним, что МОП проявляется при  $\omega > \omega_c = m^3 (e \mathcal{E}_{max})^{-1}$ , где  $\mathcal{E}_{max}$  - максимальное поле оси ( $\hbar = c = 1$ ) [2]. В рассматриваемых ниже случаях а) - ось  $\langle 111 \rangle$   $W$  при  $T=293$  К -  $\omega_c = 13.6$  ГэВ; б) - ось  $\langle 110 \rangle$   $Ge$  при  $T=100$  К -  $\omega_c = 47$  ГэВ.

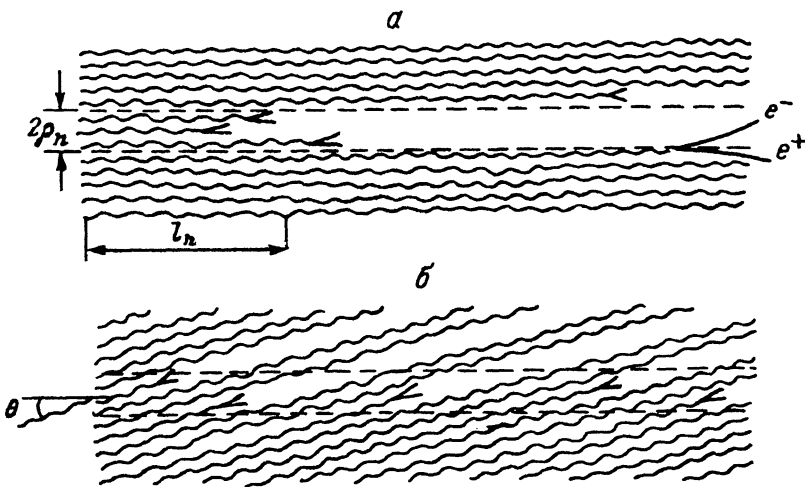


Рис. 1. а) „Выедание“ потока  $\gamma$ -квантов при малых углах падения на ось ослабляет магнитотормозное образование пар (МОП) в глубине кристалла. б) С увеличением угла падения  $\theta$  подобное выедание исчезает, что приводит к возникновению ориентационной зависимости вероятности МОП.

При  $\omega \gg \omega$ , величину  $\rho_n$  можно определить из условия максимальности отношения  $\rho/l(\rho)$ , где  $l(\rho)=1/\omega(\epsilon(\rho))$ ,  $\omega(\epsilon)$  — вероятность МОП в однородном поле  $\epsilon$ . Поскольку при  $\omega \gg \omega$ ,  $\omega(\epsilon)=0.38e^3[\omega_1/\omega]^{1/3}\epsilon^{1/m\alpha\epsilon^{2/3}}$  (см. [5]), определяемая таким образом величина  $\rho_n$  не зависит от  $\omega$ . Для случая а) (см. выше) при  $\omega=150$  ГэВ  $\approx 11\omega$ , имеем  $\rho_n=0.12$  Å,  $l_n=1/\omega(\epsilon(\rho_n))=17$  мкм; для случая б) при достичь ныне на Тэватроне энергии  $\omega=600$  ГэВ  $\approx 13\omega$ , —  $\rho_n \approx 0.14$  Å,  $l_n=65$  мкм. Для характерного угла  $\theta_{xap}=2\rho_n/l_n$  имеем а)  $\theta_{xap}=1.45$  мкрад, б)  $\theta_{xap}=0.43$  мкрад. Дифракция  $\gamma$ -квантов на области их интенсивного поглощения малосущественна если ее характерный угол  $\lambda/2\rho_n$  не превышает угла  $\theta_{xap}$ , что выполняется при  $\omega > 10$  ГэВ/ $[\theta_{xap}$  (мкрад)  $\rho_n/0.1$  Å]  $\approx 10$  ГэВ  $\lesssim \omega$ . Поэтому при  $\omega \gg \omega$ , можно пренебречь дифракцией и воспользоваться эйкональным приближением с интегрированием по прямолинейному пути, параллельному направлению импульса влетающих  $\gamma$ -квантов. В этом случае ориентационная зависимость вероятности МОП в кристалле толщины  $l \ll l_n$  описывается выражением

$$W(\theta)=n_0 d \int \left\{ 1 - \exp \left[ - \int_0^l \omega_{\text{лок}} \left( [x^2 + (y+z\theta)^2]^{1/2} \right) dz \right] \right\} dx dy, \quad (1)$$

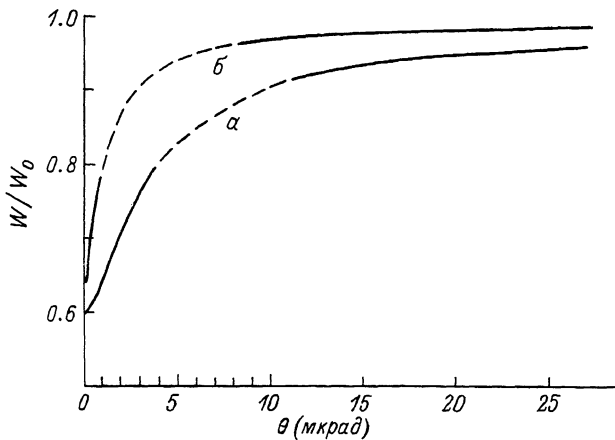


Рис. 2. Ориентационная зависимость вероятности МОП в случаях а) и б) (см. текст). Сплошные участки кривых рассчитаны по формуле (1).  $w_o$  — вероятность, получаемая усреднением по поперечнику кристалла локальной вероятности МОП,  $W_o = w_o l$ .

где  $w_{лок}$  — локальная вероятность МОП на расстоянии  $\rho$  от оси, складывающаяся из вероятности когерентного ОП, равной вероятности ОП в однородном поле напряженности  $\mathcal{E}(\rho)$  и вероятности некогерентного ОП на ядрах [6], распределенных с плотностью  $n(\rho)$  в поле  $\mathcal{E}(\rho)$ ,  $n_o$  — средняя плотность ядер. На рис. 2 представлены угловые зависимости вероятности МОП, рассчитанные в случаях а) и б) для длин кристаллов  $30 \text{ мкм} \approx 1.8 l_n$  и  $100 \text{ мкм} \approx 1.5 l_n$  соответственно. Формула (1) справедлива при выполнении условия  $l\theta \leq 1 \text{ \AA}$ , обеспечивающего взаимодействие  $\gamma$ -кванта лишь с одной осью, и была использована при расчете частей кривых, лежащих слева от пунктирных участков. При  $\theta \gg \theta_{хар}$  оценку величины эффекта проведем в приближении хаотического расположения осей, в котором вероятность МОП в кристалле пропорциональна вероятности МОП в поле одной оси, описываемой формулой (1). Поэтому для обоснования использования последней при вычислении вероятности МОП в кристалле остается заметить, что нормировка (1) как раз обеспечивает переход к  $w_o l$ , где вероятность  $w_o$  получается усреднением  $w_{лок}(\vec{\rho})$  по поперечнику кристалла и используется для описания ОП в пренебрежении рассматриваемым ориентационным эффектом [1-4]. При  $\theta \gg \theta_{хар}$  показатель экспоненты в (1), по порядку величины равный  $\theta_{хар}/l\theta$ , становится меньшим единицы и, разлагая по нему, приходим к использованной при расчете правых участков кривых на рис. 2 формуле  $W(\theta) = w_o(1 - \theta_{хар}'/2\theta)l$ , где  $\theta_{хар}' \approx \theta_{хар}$ , а точнее, а)  $\theta_{хар}' =$

=1.8 мкрад, б)  $\theta'_{\text{хар}} = 0.6$  мкрад. Считая далее углы падения равномерно распределенными по кругу  $\theta < \theta_{\text{max}}$  и усредняя по ним, получаем  $W(\theta < \theta_{\text{max}}) = \omega_0 l (1 - \theta'_{\text{хар}} / \theta_{\text{max}})$ ; отсюда видно, что рассматриваемый эффект приводит к десятипроцентному уменьшению вероятности ОП а) при  $\theta_{\text{max}} = 10$   $\theta'_{\text{хар}} = 18$  мкрад, б) – при  $\theta_{\text{max}} = 6$  мкрад. Ввиду низкого качества кристаллов  $W$  следует обратить внимание на возможность наблюдения обсуждаемого эффекта на одном из входящих в его состав микрокристаллов длины  $l \geq l_n \approx 10$  мкм.

Выбранная нами для численного расчета область энергий  $\omega \approx \simeq 10 \omega_1$ , является оптимальной для проявления рассматриваемого эффекта, поскольку угол  $\theta_{\text{хар}} = 2 \rho_n / l_n$  в ней максимальен. При  $\omega > 10 \omega_1$ , как указывалось выше,  $\rho_n$  перестает зависеть от  $\omega$ ,  $l_n = 1/\omega (\rho_n) \propto \omega^{-1/3}$  [5], вследствие чего угол  $\theta_{\text{хар}}$  убывает как  $\omega^{-1/3}$ . При  $\omega < 10 \omega_1$ , ослабление МОП ведет к росту  $l_n$  и уменьшению  $\rho_n$ , следовательно, и  $\theta_{\text{хар}}$ . Кроме этого, ниже некоторой энергии  $\omega' > \omega_1$ , эффект будет практически полностью подавляться дифракцией  $\gamma$ -квантов.

Рассмотренный эффект может быть полезен при ориентировании кристаллов с точностью  $\lesssim 1-10$  мкрад и прецизионном анализе их качества в условиях эксперимента с  $\gamma$ -квантами высоких энергий.

#### Список литературы

- [1] Барышевский В.Г. В кн.: Материалы ХІУ Зимней школы ЛИЯФ. Л., 1979, с. 158; Канализование, излучение и реакции в кристаллах при высоких энергиях. Минск, БГУ, 1982, § 34.
- [2] Барышевский В.Г., Тихомиров В.В. // ЯФ. 1982. Т. 36. В. 3. С. 697–706 // ЖЭТФ. 1983. Т. 85. В. 1. С. 232–242.
- [3] Сие N. et al. // Phys. Rev. Lett. 1983. V. 50. N 13. P. 950–953.
- [4] Велкасем А. et al. // Phys. Rev. Lett. 1987. V. 58. N 12. P. 1196–1199.
- [5] Берестецкий В.Г., Лифшиц Е.М., Питаевский Л.П. Квантовая электродинамика. М.: Наука, 1980. § 91.
- [6] Тихомиров В.В. // J. Physique (Paris). 1987. V. 48. N 6. P. 1009–1016.

Поступило в Редакцию  
12 декабря 1988 г.